

# 基于欧拉方法的一维热传导数值求解问题

任立德  
南方科技大学

## 摘要

本项目完成了对一维热传导方程的数值求解。在时间上采用了显式欧拉方法和隐式欧拉方法，在空间上采用了有限差分方法。通过调用 PETSC 完成对向量和矩阵对运算，通过调用 MPI 实现并行计算，通过 HDF5 文件保存数据。通过调整网格点大小和时间步大小对两种方法对稳定性和误差进行了分析。通过使用“-r”参数控制程序是否重启。通过使用“-np”调整 CPU 核数对代码并行效率进行分析。

## 1. 理论推导

已知一维热传导方程如下所示。

$$\rho c \frac{\partial u}{\partial t} - \kappa \frac{\partial^2 u}{\partial x^2} = f \quad (1)$$

根据有限差分法和显式欧拉方法可以得到如下公式。

$$\rho c \frac{u_j^{n+1} - u_j^n}{\Delta t} - \kappa \frac{u_{j-1}^n - 2u_j^n + u_{j+1}^n}{\Delta x^2} = f \quad (2)$$

经过推导得到第  $n+1$  个时间步，第  $j$  个网格点的  $u_j^{n+1}$  计算公式。

$$u_i^{n+1} = \frac{\kappa \Delta t}{\rho c \Delta x^2} u_{j-1}^n + \left(1 - \frac{2\kappa \Delta t}{\rho c \Delta x^2}\right) u_j^n + \frac{\kappa \Delta t}{\rho c \Delta x^2} u_{j+1}^n + \frac{f \Delta t}{\rho c} \quad (3)$$

定义  $\alpha = \frac{\kappa \Delta t}{\rho c \Delta x^2}$ ，则问题可以转换成三对角矩阵的求解。

$$\begin{bmatrix} 1-2\alpha & \alpha & & \\ \alpha & 1-2\alpha & \alpha & \\ & \ddots & \ddots & \\ & & \alpha & 1-2\alpha \end{bmatrix} \times \begin{bmatrix} u_0^n \\ u_1^n \\ \vdots \\ u_j^n \end{bmatrix} + \begin{bmatrix} f_0 \\ f_1 \\ \vdots \\ f_j \end{bmatrix} = \begin{bmatrix} u_0^{n+1} \\ u_1^{n+1} \\ \vdots \\ u_j^{n+1} \end{bmatrix} \quad (4)$$

同理根据有限差分法和隐式欧拉方法可以得到推导公式。

$$-\frac{\kappa \Delta t}{\rho c \Delta x^2} u_{j-1}^{n+1} + \left(1 + \frac{2\kappa \Delta t}{\rho c \Delta x^2}\right) u_j^{n+1} - \frac{\kappa \Delta t}{\rho c \Delta x^2} u_{j+1}^{n+1} = u_j^n + \frac{f \Delta t}{\rho c} \quad (5)$$

隐式欧拉方法同样可以转换成三对角矩阵进行求解。

$$\begin{bmatrix} 1+2\alpha & -\alpha & & \\ -\alpha & 1+2\alpha & -\alpha & \\ & \ddots & \ddots & \\ & & -\alpha & 1+2\alpha \end{bmatrix} \times \begin{bmatrix} u_0^{n+1} \\ u_1^{n+1} \\ \vdots \\ u_j^{n+1} \end{bmatrix} = \begin{bmatrix} u_0^n \\ u_1^n \\ \vdots \\ u_j^n \end{bmatrix} + \begin{bmatrix} f_0 \\ f_1 \\ \vdots \\ f_j \end{bmatrix} \quad (6)$$

为了验证计算过程是否正确，还需要精确解作为参考。当  $\frac{\partial u}{\partial t} = 0$  时，系统温度不随时间变化，可以看作稳定状态。即有如下公式。

$$-\kappa \frac{\partial^2 u}{\partial x^2} = \sin(l\pi x) \quad (7)$$

根据边界条件求得微分方程的解析解为如下公式。

$$u(x) = \frac{1}{\kappa l^2 \pi^2} \sin(l\pi x) \quad (8)$$

## 2. 代码实现

项目将代码分成多个模块，每个模块解决特定问题。显式方法和隐式方法除了矩阵运算模块内部实现有所差别，其他模块基本相同。

在 explicit.c 中，模块一定义了与模型有关的多个常量参数，包括方程中的 Rho、C、K 等物理量以及 GRID、TSTEP 等控制网格点和迭代步长的参数。模块二定义了所需变量，包括计算时所需的向量和矩阵以及并行所需的 rank 变量和文件变量等。模块三对参数进行初始化，包括初始化 petsc 和 mpi，

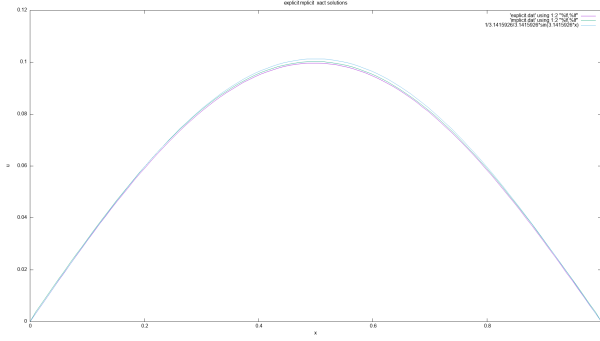


图 1. solution CFL=0.2

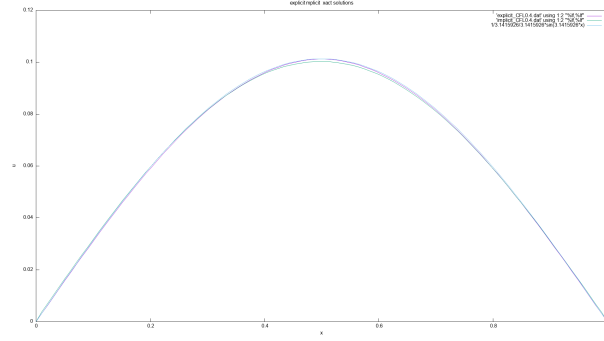


图 2. solution CFL=0.4

以及读取“-r”参数。模块四计算并打印模型运算的重要信息，包括  $dx$ 、 $dt$  等。模块五用于创建计算所需对向量和矩阵。模块六用于初始化三对角矩阵。模块七根据“-r”参数对初始条件进行初始化操作。当“-r”不存在时，表示程序无需重启，计算时直接从 HDF5 文件中获取数据。当“-r”不存在时，表示程序需要重启，默认时间  $t=0$ ，重新计算各项数据。模块八用于迭代计算  $u_j$  的值，从当前时间计算到初始设定的时间上限  $TEND$ ，且迭代次数为 10 的整数倍时，将数据写入 HDF5 文件中，对数据进行更新。模块九用于关闭向量和矩阵，防止内存泄漏。

通过 Makefile 对代码进行编译，使用 `make explicit` 或 `make implicit` 即可生成相应对可执行文件，使用 `make clean` 可以清除所有生成的中间文件和可执行文件。使用 `explicit.LSF` 提交 TaiYi 脚本，通过“-r”和“-np”等参数对程序进行相应控制。程序执行完成或者强制中断后，均可生成对应对 HDF5 文件，可用于分析计算结果和代码性能以及用于继续计算。

完整代码及使用说明文档的 github 仓库链接为 <https://github.com/RenLide/HPC-project.git>，TaiYi 服务器中项目代码文件夹位置为 `/work/mae-renld/HPC/project`。

### 3. 计算结果分析

#### 3.1. 精度分析

选择精确解作为结果误差分析的基准，使用 GNUPLOT 绘制图表（由于图表较小，细节不够明显，可在 github 仓库的 `/gnuplot` 文件夹中查看全

图）。

选择  $GRID=100$ ， $TSTEP=100000$  进行计算，此时  $CFL=0.2$ 。计算结果如图（1）所示。可以看出显式欧拉方法的误差更小。

选择  $GRID=100$ ， $TSTEP=50000$  进行计算，此时  $CFL=0.4$ 。计算结果如图（2）所示。两种方法都能较好的拟合精确解。

为了探究精度与时间步的关系，选择了精度较差的隐式欧拉方法进行测试。在  $TEND=2.0$  时，选择不同的  $TSTEP$  计算  $u_j$  的最大误差，计算公式如下所示。

$$e := \max_{1 \leq j \leq n} |u_{\text{exact},j} - u_{\text{num},j}| \quad (9)$$

选择步长为  $TSTEP=2000$  至  $32000$ 。记录的表格如下所示。

表 1. 隐式欧拉方法精确度和时间随  $TSTEP$  变化记录.

$TSTEP$	$Error_{max}$	Time(sec)
2000	2.4176e-3	3.15
4000	1.9279e-3	6.47
8000	1.6327e-3	12.38
16000	1.2542e-3	22.72
32000	9.4318e-4	50.87

#### 3.2. 稳定性分析

对于显式欧拉方法，根据公式（3）进行冯诺依曼稳定性分析，可以得到如下公式。

$$\delta u_j^{n+1} = \alpha * \delta u_{j-1}^n + (1 - 2\alpha) * \delta u_j^n + \alpha * \delta u_{j+1}^n \quad (10)$$

即有如下近似公式。

$$\delta u_j^{n+1} \sim e^{\delta n \Delta t} * e^{i(k*j\Delta x)} \quad (11)$$

$$\begin{aligned} e^{\delta \Delta t} &= \alpha * e^{ik\Delta x} + (1 - 2 * \alpha) + \alpha * e^{-ik\Delta x} \\ &= \alpha * (e^{ik\Delta x} + e^{-ik\Delta x}) + (1 - 2 * \alpha) \\ &= 1 - 2\alpha + 2\alpha \cos(k\Delta x) \end{aligned} \quad (12)$$

根据稳定条件可以计算出  $\alpha$  的取值范围，在代码中用 CFL 表示  $\alpha$ 。

$$\begin{aligned} |1 - 2\alpha + 2\alpha \cos(k\Delta x)| \leq 1 &\Rightarrow -1 \leq 1 - 4\alpha \leq 1 \\ &\Rightarrow 0 \leq \alpha \leq \frac{1}{2} \end{aligned} \quad (13)$$

可以看出当  $0 \leq \alpha \leq \frac{1}{2}$  时，显式欧拉方法能够稳定。即显式欧拉方法具有条件稳定性。

对于**隐式欧拉方法**，根据公式（5）进行冯诺依曼稳定性分析。

$$-\alpha * \delta u_{j-1}^{n+1} + (1 + 2\alpha) * \delta u_j^{n+1} - \alpha * \delta u_{j+1}^{n+1} = \delta u_j^n \quad (14)$$

由公式（14）可以得出如下近似公式。

$$\delta u_j^{n+1} \sim e^{\delta n \Delta t} * e^{i(k*j\Delta x)} \quad (15)$$

由此可以得出隐式欧拉方法的稳定性条件如下公式（16）所示。

$$\begin{aligned} \alpha * e^{ik\Delta x} - (1 + 2 * \alpha) + \alpha * e^{-ik\Delta x} \\ = e^{\delta \Delta t} (2\alpha \cos(k\Delta x) - (1 + 2\alpha)) \\ = -1 \end{aligned} \quad (16)$$

由公式（17）可以看出隐式欧拉方法时无条件稳定。即 TSTEP 无论取多少步，隐式欧拉方法均可保持稳定。

$$e^{\delta \Delta t} = \left| \frac{-1}{2\alpha \cos(k\Delta x) - (1 + 2\alpha)} \right| \leq 1 \quad (17)$$

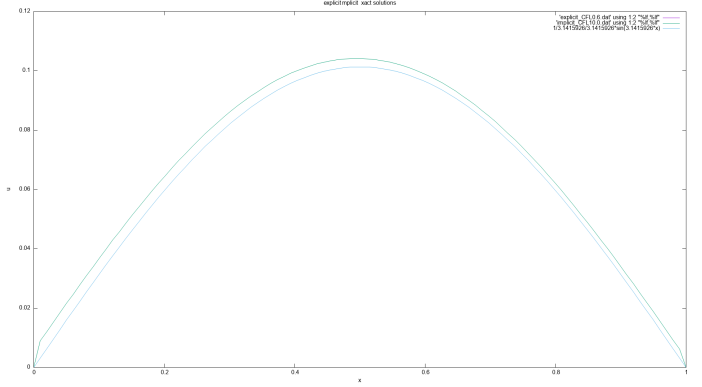


图 3. solution CFL over 0.6

在 3.1 精度分析中，取  $\alpha = 0.2$  和  $\alpha = 0.4$ ，显式与隐式欧拉方法均稳定。当  $\alpha > 0.5$  时，如图（3）所示。此时对于显式方法  $\alpha = 0.6$ ，计算的数据发散，记录为 INF。对于隐式方法  $\alpha = 10.0$ ，此时隐式方法仍能保持稳定，但精确度大大下降。

### 3.3. 重启分析

程序是否重启由“-r”参数控制。在启用“-r”参数时，程序需要重启，即时间 t 初始化为 0。在未启用“-r”时，程序无需重启，从 HDF5 文件中调用有关数据，并继续从上次中断处继续计算。HDF5 文件中保存的数据每迭代 10 次更新一次。使用显式欧拉方法进行中断测试。令 GRID=100，TSTEP=20000，TEND=2.0，CFL=0.2。在 TaiYi 上通过“bkill”指令终止计算，测试重启前后所需的计算时间，并测试未重启所需的计算时间。通过 HDFView 观察当前保存在 HDF5 文件中的数据。测试结果如表（2）所示。

可以看出程序异常中断时能够保存相关数据，以便于继续计算，能够处理一定的特殊情况。

表 2. 重启参数“-r”测试数据记录.

测试顺序	-r	bkill	t_start	t_end	time(sec)
0	启用	未启用	0.00	2.00	260.88
1	启用	启用	0.00	0.64	82.57
2	未启用	启用	0.64	2.00	184.32

### 3.4. 并行分析

并行计算由 MPI 进行控制, 通过“-np”设置运行所需 CPU 核数。初始化 GRID=100, TSTEP=20000, TEND=2.0。对于隐式欧拉方法设置 TOL=1.e-8。分别设置 1, 2, 4, 8, 16 个 CPU 核数对两种方法进行并行性能测试, 结果如图 (4) 所示。当问题规模一定时, 代码的并行性比较好。

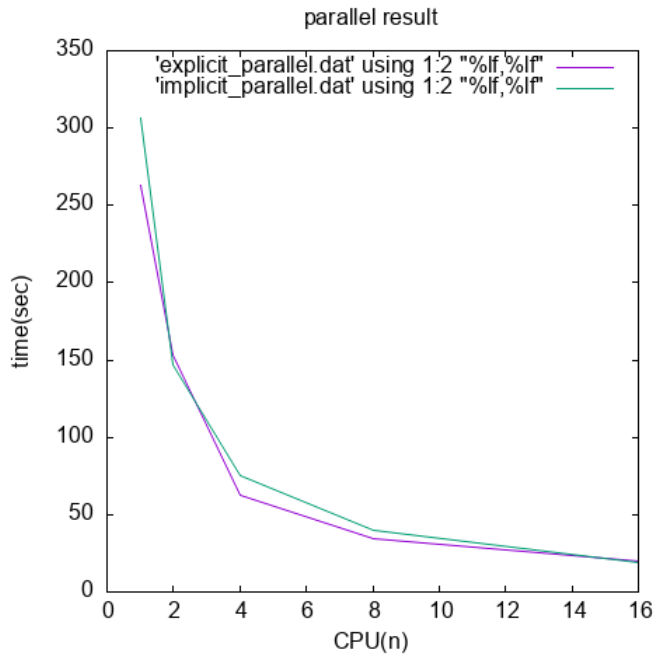


图 4. memory leak test.

### 3.5. 内存分析

在使用显式和隐式欧拉方法时, 需要申请向量和矩阵空间。实现过程中申请的相关变量均在使用后进行了释放。使用 valgrind 进行内存泄漏分析, 如图 (5) 所示, 并未有内存泄漏。

```
==389258== HEAP SUMMARY:
==389258==   in use at exit: 43,591 bytes in 842 blocks
==389258== total heap usage: 3,291 allocs, 2,449 frees, 130,601 bytes allocated
==389258==
==389258== LEAK SUMMARY:
==389258==   definitely lost: 0 bytes in 0 blocks
==389258==   indirectly lost: 0 bytes in 0 blocks
==389258==   possibly lost: 0 bytes in 0 blocks
==389258==   still reachable: 43,591 bytes in 842 blocks
==389258==   suppressed: 0 bytes in 0 blocks
==389258== Rerun with --leak-check=full to see details of leaked memory
==389258==
==389258== For counts of detected and suppressed errors, rerun with: -v
==389258== ERROR SUMMARY: 0 errors from 0 contexts (suppressed: 0 from 0)
```

图 5. memory leak test.

## 4. 总结与展望

项目采用显式和隐式两种欧拉方法对一维热传导方程进行了数值求解。对方法稳定性分析, 显式欧拉方法具有条件稳定性, 稳定条件为  $CFL \leq 0.5$ ; 隐式欧拉方法具有无条件稳定性。对方法精确度分析, 在网格点和时间步长相同时, 显式欧拉方法的精确度更高。当  $CFL > 0.5$  时, 显式欧拉方法不再收敛, 无法计算出数值解; 隐式欧拉方法仍能算出数值解, 但精度有所下降。

在测试重启参数“-r”时, 每迭代 10 次就将重要数据重新保存在 HDF5 文件中, 通过“-r”参数的启用与否实现中断应急处理。对于大型作业长时间运作具有重要意义。在测试并行性时, 显式和隐式都表现出了较好的并行性。在测试内存泄漏时, 未发现有内存泄漏的情况发生。